

03

О неустойчивости n -й моды осцилляций заряженной капли в однородном электростатическом поле

© С.О. Ширяева, А.И. Григорьев, А.А. Ширяев

Ярославский государственный университет им. П.Г. Демидова,
150000 Ярославль, Россия
e-mail: shir@uniyar.ac.ru

(Поступило в Редакцию 4 апреля 2014 г.)

В нелинейных асимптотических расчетах путем разложения по двум малым параметрам (по величине безразмерной равновесной деформации капли и отношению амплитуды осцилляций к ее радиусу) исследуется устойчивость n -й моды осцилляций заряженной капли в однородном электростатическом поле. Показано, что при зарядах, меньших критического по Рэлею, механизм реализации неустойчивости капли в электростатическом поле остается таким же, как и для незаряженной капли. Критическое значение полевого параметра с ростом номера моды выходит на насыщение, но асимптотика, параллельная оси абсцисс, к которой стремится полевой параметр с увеличением номера моды, снижается при увеличении собственного заряда капли.

Введение

В связи с экспериментальной проверкой [1–7] критерия Рэля [8] реализация неустойчивости заряженной капли, а также в силу широкого применения различного вида бесконтактных подвесов для жидких капель, использующихся как для получения сверхчистых веществ, так и для исследования закономерностей электростатического распада, представляет интерес задача об устойчивости заряженной капли в электростатическом поле. В последнее время было выяснено, что критерии устойчивости заряженной капли по отношению к давлению электростатического поля собственного заряда и незаряженной капли по отношению к давлению электростатического поля заряда, индуцированного самим внешним полем, различаются не только количественно, но и качественно [9–12]. В частности, обнаружено, что с увеличением номера моды критерии неустойчивости незаряженной капли в однородном или неоднородном электростатических полях выходят на насыщение. Это означает, что в достаточно сильном внешнем поле возбуждятся одновременно все моды осцилляций, и капля вбросит струю, как это и наблюдается в экспериментах [13]. У заряженной же капли в отсутствие внешнего поля с ростом заряда моды осцилляций возбуждаются последовательно по закону, выведенному еще Рэлеем [8]. Встает вопрос, как будут меняться критические условия неустойчивости, если на каплю в электростатическом поле поместить заряд.

Постановка задачи

Пусть имеется сферическая капля радиуса R , идеальной, несжимаемой, идеально проводящей жидкости, с коэффициентом поверхностного натяжения свободной поверхности σ и массовой плотностью ρ , заряженная зарядом Q , находящаяся в вакууме. Эту каплю мы

поместим в однородное внешнее электростатическое поле напряженностью E_0 , в котором она примет равновесную форму, близкую к сфероиду, вытянутому по полю [14,15]. Точнее говоря, равновесная форма такой капли будет грушевидная, но в линейном по квадрату эксцентриситета приближении она весьма близка к вытянутому сфероиду, отличия проявляются лишь в более высоких порядках приближений. Будем исследовать капиллярные осцилляции и устойчивость поверхности такой капли по отношению к давлению суммарного электростатического поля такой капли, раскладывая уравнение сфероидальной формы в окрестности исходной сферической формы, используя квадрат эксцентриситета $e^2 \equiv 1 - (b^2/a^2)$, в качестве малого параметра (a и b — большая и малая полуоси сфероида).

Во избежание излишней громоздкости математических выкладок будем рассматривать лишь осесимметричные осцилляции капли, пренебрегая зависимостью от угла φ , что незначительно отразится на общности рассуждений. Задачу будем решать в неинерциальной системе отсчета, связанной с центром масс движущейся капли, в сферических координатах (r, θ, φ) с началом в центре масс капли. Ось z будем принимать проходящей через центр масс капли параллельно направлению поля (коллинеарно оси симметрии сфероида). Форму капли представим в виде суперпозиции ее равновесной в электростатическом поле формы $r = r(\theta)$ и малого возмущения $\xi(\theta, t)$ на ее поверхности, происходящего из-за тепловых капиллярных волн бесконечно малой амплитуды [16]:

$$F(r, \theta, t) \equiv r - r(\theta) - \xi(\theta, t) = 0, \quad |\xi(\theta, t)| \ll \min r(\theta).$$

Математическая формулировка задачи состоит из уравнения Эйлера, уравнения неразрывности и уравнений, определяющих напряженность электрического поля в предположении малости гидродинамических скоростей по сравнению со скоростью распространения электро-

магнитного сигнала:

$$\frac{\partial \mathbf{V}}{\partial t} + (\mathbf{V}, \nabla) \mathbf{V} = -\frac{1}{\rho} \nabla P + \frac{\mathbf{F}_{\text{in}}}{\rho},$$

$$\text{div } \mathbf{V} = 0, \quad \text{div } \mathbf{E} = 0, \quad \mathbf{E} = -\nabla \Phi.$$

Здесь \mathbf{V} — скорость волнового движения жидкости в капле, P — гидродинамическое давление в жидкости, $\mathbf{F}_{\text{in}} = -\frac{4}{3} \pi R^3 \rho Q \mathbf{E}_0$ — сила инерции, действующая на единицу объема, которая возникает вследствие ускоренного движения центра масс капли при втягивании поляризованной капли в область большей неоднородности электрического поля, \mathbf{E} и Φ — напряженность и потенциал электростатического поля.

Задачу дополним условием ограниченности скорости в центре масс капли и условием убывания электростатического потенциала с увеличением расстояния:

$$r = 0: |\mathbf{V}| < \infty, \quad r \rightarrow \infty: \Phi \rightarrow -E_0 r \mu, \quad \mu \equiv \cos \theta;$$

а также граничными условиями: динамическим, кинематическим и условием эквипотенциальности поверхности капли:

$$r = r(\theta) + \xi(\theta, t): \quad P - P_{\text{atm}} + P_E = P_\sigma,$$

$$\frac{\partial F}{\partial t} + (\mathbf{V}, \nabla) F = 0, \quad \Phi = \text{const},$$

где давление на свободную поверхность капли электростатического поля P_E и капиллярное давление P_σ выражаются формулами

$$P_E = \frac{\mathbf{E}^2}{8\pi}, \quad P_\sigma = \sigma \text{div } \mathbf{n}.$$

Орт нормали к возмущенной поверхности капли \mathbf{n} определяется выражением

$$\mathbf{n} = \frac{\nabla F}{|\nabla F|} \Big|_{F=0}.$$

Исходя из общефизических соображений, дополним задачу условиями сохранения объема капли (следствие несжимаемой жидкости), неподвижного центра масс капли при осцилляциях ее поверхности и сохранения полного заряда капли

$$\iiint_V dV = \frac{4}{3} \pi R^3, \quad \iiint_V \mathbf{r} dV = 0,$$

$$\{V: 0 \leq r \leq r(\theta) + \xi(\theta, t), 0 \leq \theta \leq \pi, 0 \leq \varphi \leq 2\pi\},$$

$$\iint_S \kappa dS = Q,$$

$$\{S: r = r(\theta) + \xi(\theta, t), 0 \leq \theta \leq \pi, 0 \leq \varphi \leq 2\pi\},$$

где κ — поверхностная плотность заряда: $\kappa \equiv (\mathbf{E}, \mathbf{n})/4\pi$.

Для удобства расчетов перейдем к безразмерным переменным, выбирая в качестве основных масштабов обезразмеривания: $R = \rho = \sigma = 1$. При этом все

оставшиеся величины будут выражены в долях своих характерных значений:

$$[V] = R^{-1/2} \rho^{-1/2} \sigma^{1/2}, \quad [P] = \sigma R^{-1}, \quad [Q] = R^{3/2} \sigma^{1/2}, \\ [t] = R^{3/2} \rho^{1/2} \sigma^{-1/2}.$$

За безразмерными величинами сохраним прежние обозначения.

В итоге в задаче будут существовать два малых параметра: квадрат эксцентриситета e^2 и безразмерная амплитуда волнового возмущения равновесной поверхности ξ , причем положим, что $e^2 \gg \xi$. Разложения будем проводить по обоим малым параметрам, удерживая члены $\sim e^2 \xi$.

Скаляризация задачи

Поскольку в поставленной задаче исследуются движения жидкости, связанные с малыми колебаниями свободной поверхности, воспользуемся моделью потенциального течения, в рамках которой поле скоростей \mathbf{V} определяется гидродинамическим потенциалом $\psi(r, \theta, t)$: $\mathbf{V} = \nabla \psi$. Переходя к электрическому $\Phi(r, \theta, t)$ и гидродинамическому $\psi(r, \theta, t)$ потенциалам, получим систему скалярных уравнений, в безразмерных переменных, имеющих вид

$$P = P_0 + E_{\text{in}} r \mu - \frac{\partial \psi}{\partial t} - \frac{1}{2} (\nabla \psi)^2, \quad \Delta \psi = 0, \quad \Delta \Phi = 0,$$

$$r = 0: |\nabla \psi| < \infty, \quad r \rightarrow \infty: \Phi \rightarrow -E_0 r \mu,$$

$$r = r(\theta) + \xi(\theta, t):$$

$$P_0 + F_{\text{in}} r \mu - \frac{\partial \psi}{\partial t} - \frac{1}{2} (\nabla \psi)^2 - P_{\text{atm}} + P_E = P_\sigma,$$

$$-\frac{\partial \xi}{\partial t} + \left(\frac{\partial \psi}{\partial r} + \frac{1}{r^2} \frac{\partial \psi}{\partial \theta} \left(-\frac{\partial r(\theta)}{\partial \theta} - \frac{\partial \xi(\theta, t)}{\partial \theta} \right) \right) = 0,$$

$$\Phi = \text{const}, \quad P_E = \frac{(\nabla \Phi)^2}{8\pi}, \quad P_\sigma = \text{div } \mathbf{n},$$

$$\mathbf{n} = \left(\mathbf{e}_r - \mathbf{e}_\theta \frac{1}{r} \frac{\partial}{\partial \theta} [r(\theta) + \xi(\theta, t)] \right) \\ \times \left(1 + \frac{1}{r^2} \left(\frac{\partial r(\theta)}{\partial \theta} + \frac{\partial \xi(\theta, t)}{\partial \theta} \right)^2 \right)^{-1/2},$$

$$\int_0^{2\pi} \int_0^\pi \int_0^{r(\theta)+\xi(\theta,t)} r^2 \sin \theta dr d\theta d\varphi = \frac{4}{3} \pi,$$

$$\int_0^{2\pi} \int_0^\pi \int_0^{r(\theta)+\xi(\theta,t)} \mathbf{r} r^2 \sin^2 \theta dr d\theta d\varphi = 0,$$

$$\int_0^{2\pi} \int_0^\pi (\nabla \Phi, \mathbf{n}) R^2 \sin \theta d\theta d\varphi = -4\pi Q.$$

\mathbf{e}_r и \mathbf{e}_θ — орты сферической системы координат.

Выписанную задачу будем решать асимптотическими методами, предполагая, что вследствие малости амплитуды волнового искажения поверхности капли $\xi(\theta, t)$ мала и амплитуда скорости движения жидкости, вызванного осцилляциями поверхности: $|\psi(r, \theta, t)| \sim |\xi(\theta, t)|$. Рассмотрение ограничим первым порядком малости по амплитуде осцилляций $\xi(\theta, t)$, представим искомые величины в виде сумм компонент нулевого и первого порядков:

$$\Phi = \Phi^{(0)} + \Phi^{(1)} + O(\xi^2), \quad P_E = P_E^{(0)} + P_E^{(1)} + O(\xi^2),$$

$$P_\sigma = P_\sigma^{(0)} + P_\sigma^{(1)} + O(\xi^2), \quad P = P^{(0)} + P^{(1)} + O(\xi^2).$$

Проводя процедуру линеаризации стандартными методами, получим задачу нулевого порядка для определения равновесной формы поверхности и задачу первого порядка для анализа устойчивости поверхности.

Равновесная форма поверхности

Положим равновесное искажение формы сферической капли малым и представим равновесную во внешнем электростатическом поле форму в виде разложения:

$$r(\theta) = a_0 + \sum_{n=1}^{\infty} a_n P_n(\mu),$$

где $P_n(\mu)$ — осесимметричные полиномы Лежандра n -го порядка [17]. Найдем теперь коэффициенты этого разложения в линейном по отношению a_n/a_0 приближении. Решая электрическую задачу, будем считать, что заряд на капле Q имеет нулевой порядок малости, так как сам по себе он не искажает сферическую форму поверхности. Напряженность внешнего поля E_0 в таком случае будет иметь порядок $(a_n/a_0)^{1/2}$, так как деформация равновесной формы вызвана давлением внешнего поля, т.е. $a_n/a_0 \sim E_0^2$. В итоге получим выражение для потенциала $\Phi^{(0)}$ в окрестностях капли:

$$\Phi^{(0)}(r, \theta) = \frac{Q}{r} + E_0 \left(\frac{1}{r^2} - r \right) P_1(\mu) + \frac{e^2}{3} \frac{Q}{r^3} P_2(\mu), \quad (1)$$

$$e^2 \equiv \frac{9w}{(1-W)}, \quad w \equiv \frac{E_0^2}{16\pi}, \quad W \equiv \frac{Q^2}{16\pi}$$

и равновесную сфероидальную форму поверхности капли $r(\theta)$, определяемую из баланса давлений на поверхности капли в нулевом по ξ порядке:

$$r(\theta) = 1 + \frac{e^2}{3} P_2(\mu) + O(e^4),$$

где e^2 — квадрат эксцентриситета капли, а угол θ отсчитывается от направления \mathbf{E}_0 .

Устойчивость равновесной формы

Задача первого порядка малости по ξ , полученная из исходной системы уравнений, имеет вид

$$\Delta\psi(\mathbf{r}, t) = 0, \quad \Delta\Phi^{(1)}(\mathbf{r}, t) = 0,$$

$$r \rightarrow 0: \quad |\nabla\psi(\mathbf{r}, t)| < \infty, \quad r \rightarrow \infty: \quad \Phi^{(1)}(\mathbf{r}, t) \rightarrow 0$$

с граничными условиями на свободной поверхности: динамическим, кинематическим и условием потенциальности

$$r = r(\theta): \quad P^{(1)} + P_E^{(1)} = P_\sigma^{(1)},$$

$$-\frac{\partial\xi(\theta, t)}{\partial t} + \frac{\partial\psi(r, \theta, t)}{\partial r} - \frac{\partial\psi(r, \theta, t)}{\partial\theta} \frac{\partial r(\theta)}{\partial\theta} = 0,$$

$$\Phi^{(1)}(r, \theta, t) + \frac{\partial\Psi^{(0)}(r, \theta, t)}{\partial r} \xi(\theta, t) = \text{const.}$$

Выражения для поправок к давлениям гидродинамическому, электрическому и давлению капиллярных сил в первом порядке разложений по ξ и по e^2 запишутся в виде

$$r = r(\theta): \quad P^{(1)} = F_{\text{in}}\xi(\theta, t)\mu - \frac{\partial\psi(r, \theta, t)}{\partial t},$$

$$P_E^{(1)} = \frac{\partial}{\partial r} \left(\frac{(\nabla\Phi^{(0)})^2}{8\pi} \right) \xi(\theta, t) + \frac{(\nabla\Phi^{(0)} \cdot \nabla\Phi^{(1)})}{4\pi},$$

$$P_\sigma^{(1)} = 2 \left(1 - h(\theta) - \xi(\theta, t) - 3 \frac{\partial h(\theta)}{\partial\theta} \frac{\partial\xi(\theta, t)}{\partial\theta} \right) - \Delta_\theta(h(\theta) + \xi(\theta, t) - 2\xi(\theta, t)h(\theta)),$$

$$\Delta_\theta \equiv \frac{1}{\sin\theta} \frac{\partial}{\partial\theta} \left(\sin\theta \frac{\partial}{\partial\theta} \right),$$

$$h(\theta) \equiv \frac{e^2}{6} (3 \cos^2\theta - 1) \equiv \frac{e^2}{3} P_2(\mu).$$

Запишем в указанном приближении и интегральные условия: сохранения объема, неподвижности центра масс и неизменности заряда капли

$$\int_0^\pi r^2(\theta)\xi(\theta, t)d\mu = 0, \quad \int_0^\pi r^3(\theta)\xi(\theta, t)d\mu = 0,$$

$$\int_0^\pi \left[\frac{\partial\Phi^{(0)}}{\partial r} 2\xi(\theta, t) + (2r(\theta) - 1) \left(\frac{\partial^2\Phi^{(0)}}{\partial r^2} \xi(\theta, t) + \frac{\partial\Phi^{(1)}}{\partial r} \right) - \frac{\partial\Phi^{(0)}}{\partial\theta} \frac{\partial\xi(\theta, t)}{\partial\theta} - \frac{\partial^2\Phi^{(0)}}{\partial r\partial\theta} \frac{\partial r(\theta)}{\partial\theta} \xi(\theta, t) - \frac{\partial\Phi^{(1)}}{\partial\theta} \frac{\partial r(\theta)}{\partial\theta} \right] d\mu = 0.$$

Решение уравнения Лапласа для гидродинамического потенциала с учетом ограниченности скорости в центре капли имеет вид

$$\psi(r, \theta, t) = \sum_{n=0}^{\infty} V_n(t) r^n P_n(\mu).$$

Подставляя выражения для равновесной формы поверхности и гидродинамического потенциала в кинематическое граничное условие, определим координатную зависимость ξ :

$$\xi(\theta, t) = \sum_{n=2}^{\infty} \alpha_n(t) P_n(\mu) \quad (2)$$

и выразим коэффициенты $V_n(t)$ разложения через амплитуды $\alpha_n(t)$:

$$\begin{aligned} V_n(t) &= \sum_{n=0}^{\infty} P_n(\mu) \\ &\times \left(\frac{e^2}{3} \frac{((6-5n+n^2)K_{2,-2+n,n}^s - K_{2,-2+n,n}^\theta) \alpha'_{-2+n}(t)}{n(n-2)} \right. \\ &+ \left(\frac{1}{n} + \frac{e^2}{3} \frac{((1-n)nK_{2,n,n}^s + K_{2,n,n}^\theta)}{n^2} \right) \alpha'_n(t) \\ &+ \left. \frac{e^2}{3} \frac{((-2-3n-n^2)K_{2,2+n,n}^s + K_{2,2+n,n}^\theta) \alpha'_{2+n}(t)}{n(n+2)} \right), \end{aligned}$$

$$K^s(n, m, j) \equiv (C_{n,0,m,0}^{j,0})^2,$$

$$K^\theta(n, m, j) = -\sqrt{n(n+1)m(m+1)} C_{n,0,m,0}^{j,0} C_{n,-1,m,1}^{j,0},$$

где $C_{n,k,m,q}^{l,p}$ — коэффициенты Клебша–Гордана [17].

Решение уравнения Лапласа для электрического потенциала, удовлетворяющее условию убывания потенциала на бесконечности и условию эквипотенциальности поверхности, получим в виде

$$\Phi^{(1)}(\mathbf{r}, t) = X(r, w, W) + \Upsilon(n, w, W),$$

$$\begin{aligned} \Upsilon(n, w, W) &\equiv \sum_{n=1}^{\infty} (\sqrt{16\pi W} \alpha_n + 3\sqrt{16\pi w} (\alpha_{-1+n} K_{1,-1+n,n}^s \\ &+ \alpha_{1+n} K_{1,1+n,n}^s) + \frac{e^2}{3} \sqrt{16\pi W} (n \alpha_{-2+n} K_{2,-2+n,n}^s \\ &+ (2+n) \alpha_n K_{2,n,n}^s + (4+n) \alpha_{2+n} K_{2,2+n,n}^s)) \\ &\times r^{-(n+1)} P_n(\mu), \end{aligned}$$

$$\begin{aligned} X(r, w, W) &\equiv \alpha_0 \sqrt{16\pi W} \left(\frac{2}{r} - 1 \right) + \sqrt{16\pi w} \alpha_1 \left(\frac{2}{r} - 1 \right) \\ &+ e^2 \sqrt{16\pi W} \alpha_2 \frac{4}{15} \left(\frac{3}{r} + 2 \right). \quad (3) \end{aligned}$$

Чтобы удовлетворить динамическому граничному условию, получим выражения для добавок первого порядка малости по амплитуде возмущения к давлениям капиллярных сил и электрического поля. Подставляя (2) в выражение для капиллярного давления, получим

для $P_\sigma^{(1)}$:

$$\begin{aligned} P_\sigma^{(1)} &= \sum_{n=0}^{\infty} P_n(\mu) \left(\frac{e^2}{3} (-2n(1+n) K_{2,-2+n,n}^s \right. \\ &- 6K_{2,-2+n,n}^\theta) \alpha_{-2+n}(t) + \left((-1+n)(2+n) \right. \\ &+ \left. \frac{e^2}{3} (-2n(1+n) K_{2,n,n}^\theta - 6K_{2,n,n}^s) \right) \alpha_n(t) \\ &+ \left. \frac{e^2}{3} (-2n(1+n) K_{2,2+n,n}^s - 6K_{2,2+n,n}^\theta) \alpha_{2+n}(t) \right). \end{aligned}$$

С учетом вида электрических потенциалов (1), (3) и выражения для формы поверхности рассчитаем электрическое давление $P_E^{(1)}$:

$$\begin{aligned} P_E^{(1)}(\mathbf{r}, t) &= 4Ww \left(\alpha_1(t) - \frac{12}{5} \alpha_2(t) \right) \\ &+ \sum_{n=0}^{\infty} P_n(\mu) \left(4(n+1)Ww \left(\frac{12}{5} \alpha_2(t) - \alpha_1(t) \right) \right. \\ &+ C_{-2,n}^e \alpha_{-2+n}(t) + C_{-1,n}^e \alpha_{-1+n}(t) + C_{0,n}^e \alpha_n(t) \\ &+ \left. C_{1,n}^e \alpha_{1+n}(t) + C_{2,n}^e \alpha_{2+n}(t) \right), \end{aligned}$$

$$\begin{aligned} C_{-2}^e(n) &= \frac{1}{1-W} 12w(3n(1-W)K_{1,-2+n,-1+n}^s K_{1,-1+n,n}^s \\ &- (4 + (7-5n)W + (1+n)W^2)K_{2,-2+n,n}^s \\ &+ WK_{2,-2+n,n}^\theta), \end{aligned}$$

$$C_{-1}^e(n) = 12(-3+2n)\sqrt{w}\sqrt{W}K_{1,-1+n,n}^s,$$

$$\begin{aligned} C_0^e(n) &= \frac{1}{1-W} 4((1-W)(-6w + (-1+n)W) \\ &+ 9nw(1-W)K_{1,-1+n,n}^s K_{1,n,-1+n}^s \\ &+ 9(2+n)w(1-W)K_{1,n,1+n}^s K_{1,1+n,n}^s \\ &- 3w(4 - (1+5n)W + (1+n)W^2)K_{2,n,n}^s \\ &+ 3wWK_{2,n,n}^\theta), \end{aligned}$$

$$C_1^e(n) = 12(-1+2n)\sqrt{w}\sqrt{W}K_{1,1+n,n}^s,$$

$$\begin{aligned} C_2^e(n) &= \frac{1}{1-W} 12w(3(2+n)(1-W)K_{1,1+n,n}^s K_{1,2+n,1+n}^s \\ &- (4 - (9+5n)W + (1+n)W^2)K_{2,2+n,n}^s \\ &+ WK_{2,2+n,n}^\theta). \end{aligned}$$

Эволюционное уравнение

Используя полученные выражения для давлений $P_E^{(1)}$, $P_\sigma^{(1)}$, $P^{(1)}$, формулы для формы поверхности и гидродинамического потенциала, из динамического граничного условия, воспользовавшись ортогональностью полиномов Лежандра, получим для амплитуд $\alpha_n(t)$ систему связанных дифференциальных уравнений второго порядка, каждое из которых имеет вид

$$\alpha_n''(t) + \omega_n^2 \alpha_n(t) - \sum_{m \in \Xi} (C_m^f(n) \alpha_{n+m}(t) + C_m^d(n) \alpha_{n-m}(t)) = 0, \quad \Xi = \{-2, -1, 1, 2\}. \quad (4)$$

Здесь ω_n — собственная частота колебаний моды с номером n , определяемая дисперсионным уравнением

$$\begin{aligned} \omega_n^2 &= n(n-1)((n+2) - 4W) - C_\omega, \\ C_\omega &= 24wn - 36wn^2 K_{1,-1+n,n}^s K_{1,n,-1+n}^s - 36wn(2+n) K_{1,n,1+n}^s K_{1,1+n,n}^s - \frac{e^2}{3} n(3n^2 - 18 + 4W(2-W)) + n(3 + 16W - 4W^2) K_{2,n,n}^s - \frac{e^2}{3} (n^2 + 7n - 2 + 4W) K_{2,n,n}^\theta, \end{aligned}$$

а $C_m^f(n)$, $C_m^d(n)$ — числовые коэффициенты, выражения для которых приведены в Приложении. Заметим, что индексы n амплитуд $\alpha_n(t)$ не могут быть отрицательными, поэтому естественно полагать $\alpha_n(t) \equiv 0$ при $n < 0$.

На рис. 1 представлены значения собственных частот колебаний n -й моды, полученные из дисперсионного уравнения; кривые расположены сверху вниз согласно увеличению параметра Рэлея ($W = 0.1, 0.2, 0.3$). Как видно из рис. 1, заряд на капле приводит к небольшому снижению величин частот колебаний.

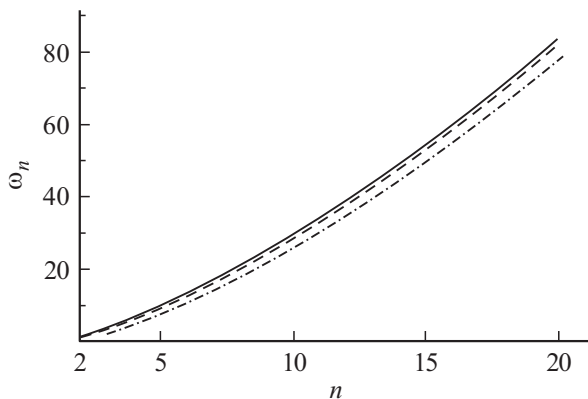


Рис. 1. Зависимости частот колебаний заряженной капли в однородном поле от номера моды. Параметр Тейлора $w = 0.05$, кривые расположены сверху вниз согласно увеличению параметра Рэлея ($W = 0, 0.1, 0.3$).

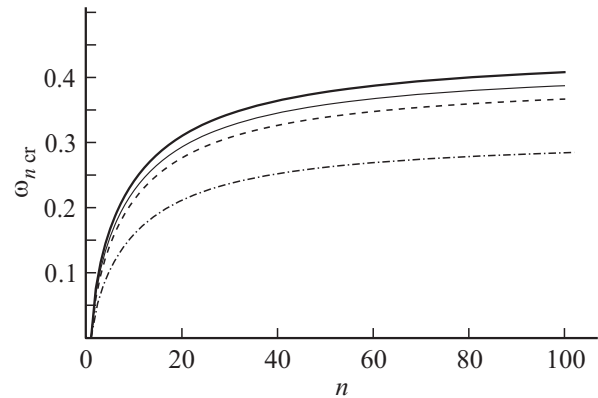


Рис. 2. Зависимость критического значения параметра Тейлора от номера моды для нескольких величин зарядового параметра Рэлея. Графики расположены сверху вниз в порядке возрастания параметра Рэлея ($W = 0, 0.05, 0.1, 0.3$).

Из системы (4) видно, что для заряженной капли в однородном электростатическом поле выделенная мода (под выделенной модой будем понимать n -ю моду) взаимодействует с четырьмя ближайшими. Отметим, что в случае незаряженной капли во внешнем электростатическом поле n -я мода взаимодействует в том же приближении только с двумя модами [11].

Из условия равенства нулю квадрата собственной частоты моды осцилляций $\omega_n^2 = 0$ получим критическое значение параметра Тейлора в зависимости от n и W :

$$\begin{aligned} \omega_{nkr} &= \frac{1}{K_\omega} \{n(n-1)[(2+n) - 4W]\}, \\ K_\omega &\equiv \left(-24n + 36n^2 K_{1,-1+n,n}^s K_{1,n,-1+n}^s + 36n(2+n) K_{1,n,1+n}^s K_{1,1+n,n}^s + \frac{3n(-18 + 3n^2 + 8W - 4W^2 + n(3 + 16W - 4W^2)) K_{2,n,n}^s}{1 - W} + \frac{3(-2 + 7n + n^2 + 4W) K_{2,n,n}^\theta}{1 - W} \right). \end{aligned}$$

На рис. 2 представлены зависимости критического значения параметра Тейлора ω_{nkr} от номера моды, для нескольких величин зарядового параметра Рэлея. Графики расположены сверху вниз в порядке возрастания параметра Рэлея ($W = 0.1, 0.05, 0.1, 0.3$).

Как видно из рис. 2, зависимость ω_{nkr} выходит на насыщение при больших n , а наличие на капле заряда приводит к заметному снижению кривой и уровня горизонтальной асимптотики, к которой зависимость ω_{nkr} стремится при больших номерах мод. Снижение уровня асимптотики означает, что все моды колебаний могут стать одновременно неустойчивыми при меньшей напряженности внешнего поля.

Заметим, что условия сохранения объема капли и неподвижности ее центра масс определяют величины амплитуд нулевой и первой мод соответственно, которые

несложно получить, подставляя в соответствующие интегральные условия выражение для формы поверхности:

$$\alpha_0(t) = -\frac{2}{15} e^2 \alpha_2(t),$$

$$\alpha_1(t) = -e^2 \left(K_{2,1,1}^s \alpha_2(t) + \frac{3}{7} K_{2,1,3}^s \alpha_3(t) \right). \quad (5)$$

Так амплитуды возмущений $\alpha_0(t)$, $\alpha_1(t)$ определены, систему уравнений (4) можно решать для $n \geq 2$ методом последовательных приближений. В нулевом приближении пренебрегаем слагаемыми, отвечающими за взаимодействие мод, тогда система примет вид

$$\alpha_n^{0''}(t) + \omega_n^2 \alpha_n^0(t) = 0 \quad (n \geq 2).$$

Решение этого гармонического уравнения очевидно:

$$\alpha_n^0(t) = A_n^+ \exp(i\omega_n t) + A_n^- \exp(-i\omega_n t),$$

где $A_n^+ = \text{const}$.

Ограничиваясь в расчетах вторым приближением (по двум малым параметрам), для вычисления амплитуд $\alpha_n(t)$ получим следующее уравнение:

$$\alpha_n''(t) + \omega_n^2 \alpha_n(t) - \sum_{m \in \Theta} (C_m^f(n) - \omega_{n+m}^2 C_m^d(n)) \times [A_{n+m}^+ \exp(i\omega_{n+m} t) + A_{n+m}^- \exp(-i\omega_{n+m} t)] = 0,$$

$$\Theta = \{-2, -1, 1, 2\}. \quad (6)$$

Уравнение (6) является неоднородным уравнением второго порядка. Его общее решение ищется в виде суммы общего решения однородного уравнения:

$$\alpha_n^{un}(t) = A_n^+ \exp(i\omega_n t) + A_n^- \exp(-i\omega_n t) \quad (7)$$

и частного решения неоднородного уравнения, которое представим в виде суперпозиции экспонент, аналогичных экспонентам, входящим в функцию неоднородности:

$$\alpha_{n \pm m}^{un}(t) = B_{n, \pm m}^+ \exp(i\omega_{n \pm m} t) + B_{n, \pm m}^- \exp(-i\omega_{n \pm m} t) \quad (m = 1, 2). \quad (8)$$

Подставляя (8) в уравнение (6), определим выражения для коэффициентов $B_{n, \pm m}^\pm$:

$$B_{n, \pm m}^\pm = C_{\pm m}^s(n) A_{n \pm m}^\pm,$$

$$C_{\pm m}^s(n) = \frac{C_{\pm m}^f(n) - \omega_{n \pm m}^2 C_{\pm m}^d(n)}{\omega_n^2 - \omega_{n \pm m}^2}, \quad m = 1, 2. \quad (9)$$

Отметим, что исходя из физических соображений, амплитуды колебаний должны описываться вещественными функциями, поэтому можно записать $B_{n, \pm m}^+ = (B_{n, \pm m}^-)^*$, $A_n^+ = (A_n^-)^*$, где «*» обозначает комплексное сопряжение. Используя (7), (8) с учетом соотношений (9) для $B_{n, \pm m}^\pm$ и представляя коэффициенты A_n^\pm в виде $A_n^\pm = a_n \exp(\pm i b_n)$, где a_n и b_n — вещественные

константы, запишем выражение для $\alpha_n(t)$ как суперпозицию $\alpha_n^{un}(t)$ и $\alpha_n^{(num)}(t)$:

$$\alpha_n(t) = a_n \exp[i(\omega_n t + b_n)] + \sum_{m=1}^2 a_{n \pm m} \exp[i(\omega_{n \pm m} t + b_{n \pm m})] C_{\pm m}^s(n) + \text{cc}. \quad (10)$$

Аббревиатура cc обозначает слагаемые, комплексно сопряженные к выписанным. В решении (10) константы a_n и b_n определяются из начальных условий.

Начальные условия

Рассмотрим случай, когда в начальный момент времени возбуждена мода с номером k , амплитуду которой положим равной константе ξ , а скорость движения поверхности в начальный момент примем равной нулю:

$$t = 0: \quad \alpha_n(t) = \xi \delta_{n,k}, \quad \alpha_n'(t) = 0 \quad (n \geq 2). \quad (11)$$

Подставляя решение (10) в систему начальных условий (11), получим

$$\begin{cases} a_n \cos(b_n) + \sum_{m=1}^2 a_{n \pm m} \cos(b_{n \pm m}) C_{\pm m}^s(n) = \xi \delta_{n,k}, \\ a_n \omega_n \sin(b_n) + \sum_{m=1}^2 a_{n \pm m} \omega_{n \pm m} \sin(b_{n \pm m}) C_{\pm m}^s(n) = 0. \end{cases} \quad (12)$$

Систему связанных уравнений (12) будем решать методом последовательных приближений. Как видно из соотношения (12) по сравнению со случаем незаряженной капли в однородном электростатическом поле, связность мод увеличилась: добавилось взаимодействие изначально возбужденной k -й моды с ближайшими модами с номерами $k \pm 1$.

В нулевом приближении пренебрежем взаимодействием мод, после чего система примет вид

$$\begin{cases} a_n^0 \cos(b_n^0) = \xi \delta_{n,k}, \\ a_n^0 \omega_n \sin(b_n^0) = 0, \end{cases}$$

а ее решения при $\omega_n \neq 0$ достаточно очевидны:

$$\begin{cases} a_n^0 = \xi \delta_{n,k}, \\ b_n^0 = \pi m, \quad m \in \mathbb{Z}. \end{cases} \quad (13)$$

В первом приближении запишем систему, учитывая решение (13) в слагаемых, которыми пренебрегаем в нулевом приближении. При этом α (см.(11)) приводится к виду

$$\begin{cases} a_n \cos(b_n) + \sum_{m=1}^2 a_{n \pm m}^0 \cos(b_{n \pm m}^0) C_{\pm m}^s(n) = \xi \delta_{n,k}, \\ a_n \omega_n \sin(b_n) + \sum_{m=1}^2 a_{n \pm m}^0 \omega_{n \pm m} \sin(b_{n \pm m}^0) C_{\pm m}^s(n) = 0. \end{cases} \quad (14)$$

Решая систему (14) для различных n , получим, что она дает нетривиальные решения для номеров в интервале $k - 2 \leq n \leq k + 2$:

$$\begin{cases} a_k = \xi, \\ \sin(b_k) = 0, \end{cases} \quad \begin{cases} a_{k \pm m} = -\xi C_{\mp m}^s(k \pm m), \\ \sin(b_{k \pm m}) = 0. \end{cases} \quad (15)$$

Тогда выражения амплитуд соответствующих мод получим из (10) в виде

$$\begin{aligned} \alpha_k(t) &= \xi \cos \omega_k t, \\ \alpha_{k \pm m}(t) &= \xi C_{\mp m}^s(k) (\cos \omega_k t - \cos \omega_{k \pm m} t) \quad (m = 1, 2), \end{aligned} \quad (16)$$

где $C_{\pm m}^s(k)$ определяется (9).

Выражение для функции, описывающей возмущение поверхности капли, $\xi(\theta, t)$ с учетом решений (15) запишется в виде

$$\begin{aligned} \xi(\theta, t) &= \xi \cos(\omega_k t) P_k(\mu) \\ &+ \xi \sum_{m=1}^2 C_{\mp m}^s(k \pm m) [\cos(\omega_k t) - \cos(\omega_{k \pm m} t)] P_{k \pm m}(\mu). \end{aligned} \quad (17)$$

На рис. 3 показан временной ход нулевой моды осцилляций, полученный из условия сохранения объема капли в виде (5), рассчитанный при различных значениях зарядового параметра W . Как известно, в расчетах первого по ξ приближения для несжимаемой жидкости нулевая мода не возбуждается [18, с.345], так как ее возбуждение соответствовало бы радиальным осцилляциям капли, невозможным в несжимаемой жидкости. В нелинейных расчетах нулевая мода возбуждается уже во втором порядке малости [19] и имеет компенсационный характер: ее возбуждение компенсирует изменение объема жидкости, возникающее за счет нелинейного взаимодействия колебательных мод. В данной задаче возбуждение нулевой моды компенсирует изменение

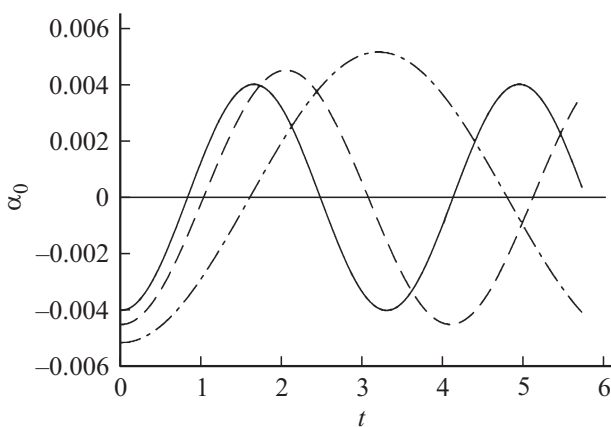


Рис. 3. Временная зависимость амплитуды нулевой моды осцилляций при амплитуде изначально возбужденной 2-моды $\xi = 0.1$ и при различных значениях параметра Рэлея (сплошная — $W = 0.1$, штриховая — $W = 0.2$, штрихпунктирная — $W = 0.3$).

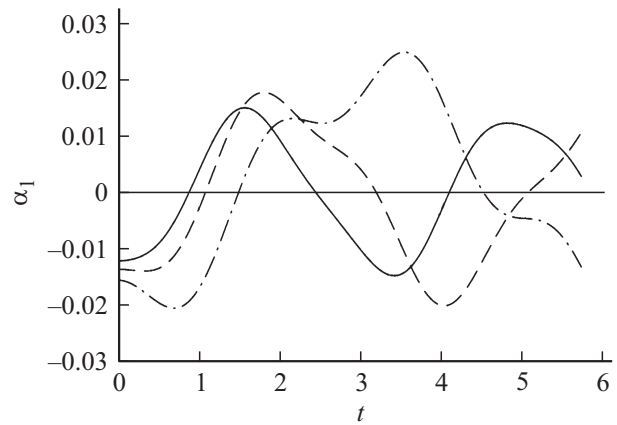


Рис. 4. Временная зависимость амплитуды нулевой моды осцилляций при амплитуде изначально возбужденной 2-й моды и при различных значениях параметра Рэлея (сплошная — $W = 0.1$, штриховая — $W = 0.2$, штрихпунктирная — $W = 0.3$).

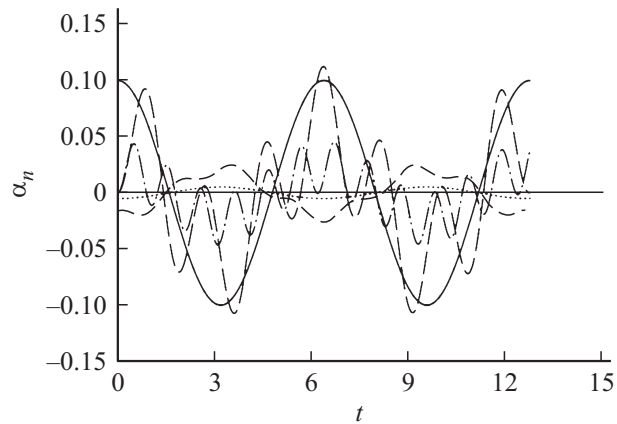


Рис. 5. Временная зависимость амплитуд мод осцилляций при параметре Тейлора $\omega = 0.03$, параметре Рэлея $W = 0.3$, амплитуде изначально возбужденной 2-й моды $\xi = 0.1$. Кривые соответственно: пунктир — $n = 0$, сплошная тонкая — $n = 1$, сплошная толстая — $n = 2$, штриховая тонкая — $n = 3$, штрихпунктирная толстая — $n = 4$.

объема в результате взаимодействия равновесной деформации поверхности капли и возмущения ξ . Из рис. 3 видно, что амплитуда и период осцилляций нулевой моды увеличиваются с ростом зарядового параметра.

На рис. 4 показан временной ход первой моды осцилляций, полученный из условия неподвижности ее центра масс (см. (5)). В расчетах первого порядка малости первая мода не возбуждается [18, с.345], так как ее возбуждение соответствовало бы трансляционным осцилляциям, невозможным в системе отсчета, связанной с центром масс капли. В нелинейных расчетах первая мода возбуждается во втором порядке малости, когда в спектре мод, определяющих начальную деформацию поверхности капли имеются две или несколько мод с последовательными номерами [20,21]. Возбуждение первой моды, так же как и нулевой, имеет компенсационный ха-

рактически — компенсирует импульс, связанный с нелинейным взаимодействием колебательных мод поверхности, и обеспечивает, таким образом, неподвижность центра масс капли. В рассматриваемом случае заряженной капли в однородном электростатическом поле возбуждение первой моды компенсирует импульс, возникающий вследствие взаимодействия равновесной деформации и возмущения ξ . Таким образом, расчеты выполняются во втором порядке малости с учетом наличия двух малых параметров. Из рис. 4 видно, что амплитуда и период осцилляций первой моды увеличиваются с ростом зарядового параметра.

На рис. 5 показаны все моды, возбуждающиеся при задании в начальный момент времени второй моды осцилляций: возбуждаются четыре ближайшие моды (по две с каждой стороны). Амплитуды колебательных мод: третьей и четвертой сравнимы с амплитудой второй моды, а амплитуды компенсационных мод нулевой и первой (пропорциональные произведению двух малых параметров задачи) примерно на порядок меньше.

Заключение

В рассмотрении, проведенном во втором порядке малости по двум малым параметрам, обнаружилось, что критические значения параметра Тейлора для заряженной или незаряженной капли во внешнем однородном электростатическом поле с увеличением номера моды выходят на насыщение. Этим критерий неустойчивости капли в поле отличается от критерия неустойчивости для сильно заряженной капли, для которой критическое значение параметра Рэлея стремится к бесконечности пропорционально полуторной степени номера моды. Показано, что зависимость критической величины полевого параметра (параметра Тейлора) от номера моды n выходит на насыщение при $n \approx 50$, и можно указать значение w (снижающееся при наличии на капле заряда), при котором все моды неустойчивы. В этом случае капля выбросит струю, как это отмечено в экспериментах Ким и Дана [13].

Работа выполнена при поддержке грантов РФФИ № 14-01-00170 и 14-08-00240.

Приложение

Выражения для коэффициентов эволюционного уравнения $C_j^f(n)$, $C_j^d(n)$.

$$C_{-2}^f(n) = - \left(-36wn^2 K_{1,-2+n,-1+n}^s K_{1,-1+n,n}^s + \frac{e^2}{3} n(-2n(1+n) + 4(4 + (7-5n)W + (1+n)W^2)) K_{2,-2+n,n}^s - \frac{e^2}{3} n(6 + 4W) K_{2,-2+n,n}^\theta \right),$$

$$C_{-1}^f(n) = 12n(2n-3)\sqrt{wW} K_{1,-1+n,n}^s,$$

$$C_1^f(n) = 12n(2n-1)\sqrt{wW} K_{1,1+n,n}^s,$$

$$C_2^f(n) = - \left(-36wn(2+n) K_{1,1+n,n}^s K_{1,2+n,1+n}^s - \frac{e^2}{3} n(2n(1+n) - 4(4 - (9+5n)W + (1+n)W^2)) K_{2,2+n,n}^s - \frac{e^2}{3} n(6 + 4W) K_{2,2+n,n}^\theta \right),$$

$$C_{-2}^d(n) = -\frac{e^2}{3} \left(3K_{2,-2+n,n}^s + \frac{K_{2,-2+n,n}^\theta}{(n-2)} \right),$$

$$C_{-1}^d(n) = C_1^d(n) = 0;$$

$$C_2^d(n) = -\frac{e^2}{3} \left(-K_{2,2+n,n}^s + \frac{K_{2,2+n,n}^\theta}{(n+2)} \right).$$

Список литературы

- [1] Doyle A., Moffet D.R., Vonnegut B. // J. Coll. Sci. 1964. Vol. 19. P. 136–143.
- [2] Berg T.G.O., Trainor R.J., Vaughan U. // J. Atmosph. Sci. 1970. Vol. 27. N 11. P.1173–1181.
- [3] Schweizer J.D., Hanson D.N. // J. Coll. Int. Sci. 1971. Vol. 35. N 3. P. 417–423.
- [4] Roulleau M., Desbois M. // J. Atmosph. Sci. 1972. Vol. 29. N 4. P. 565–569.
- [5] Duft D., Lebbeus H., Huber B.A. // Phys. Rev. Lett. 2002. Vol. 89. N 8. P. 1–4.
- [6] Duft D., Achtzehn T., Muller R. et al. // Nature. 2003. Vol. 421. N 6919. P. 128.
- [7] Grimm R.L., Beauchamp J.L. // J. Phys. Chem. B. 2005. Vol. 109. P. 8244–8250.
- [8] Rayleigh (Strutt J.W.) // Phil. Mag. 1882. Vol. 14. P. 184–186.
- [9] Ширяева С.О., Григорьев А.И., Ширяев А.А. // ЖТФ. 2013. Т. 83. Вып. 5. С. 50–60.
- [10] Ширяева С.О., Григорьев А.И., Ширяев А.А. // ЖТФ. 2013. Т. 83. Вып. 11. С. 44–51.
- [11] Григорьев А.И., Ширяев А.А., Ширяева С.О. // Изв. РАН. МЖГ. 2013. № 5. С. 127–140.
- [12] Ширяева С.О., Григорьев А.И., Ширяев А.А. // ЖТФ. 2013. Т. 84. Вып. 2. С. 8–16.
- [13] Kim O.V., Dunn P.F. // Langmuir. 2010. Vol. 26. P. 15 807–15 813.
- [14] Григорьев А.И., Ширяева С.О., Белавина Е.И. // ЖТФ. 1989. Т. 59. Вып. 6. С. 27–34.
- [15] Ширяева С.О. // ЖТФ. 2006. Т. 76. Вып. 10. С. 32–40.
- [16] Френкель Я.И. // ЖЭТФ. 1936. Т. 6. № 4. С. 348–350.
- [17] Варшалович Д.А., Москалев А.Н., Хресонский В.К. Квантовая теория углового момента. Л.: Наука, 1975. 436 с.
- [18] Ландау Л.Д., Лифшиц Е.М. // Гидродинамика. М.: Наука, 1986. 733 с.
- [19] Ширяева С.О. // ЖТФ. 2001. Т. 71. Вып. 2. С. 27–35.
- [20] Ширяева С.О. // ЖТФ. 2002. Т. 72. Вып. 4. С. 15–19.
- [21] Ширяева С.О., Григорьев А.И., Коромыслов В.А., Жаров А.Н. // ЖТФ. 2003. Т. 73. Вып. 9. С. 60–63.